

УДК 541.183

СТАТИСТИЧЕСКАЯ ТЕОРИЯ МОНОМОЛЕКУЛЯРНОЙ АДСОРБЦИИ

IV. МОНОМОЛЕКУЛЯРНАЯ АДСОРБЦИЯ НА ПОВЕРХНОСТИ КРИСТАЛЛА

*Г. А. Мартынов, И. Б. Иванов, Б. Н. Левинский,
Н. И. Анева*

При помощи уравнения Аринштейна получена изотерма локализованной адсорбции Фрумкина — Фаулера — Гуттнгейма и проанализированы границы ее применимости. Рассмотрена адсорбция на поверхности реального кристалла и получена изотерма, справедливая при степенях заполнения $\tau \leq 0,2-0,3$. Исследована зависимость τ от энергии притяжения адсорбат — адсорбент, от отношения диаметра молекул адсорбата к параметрам решетки и т. д. Показано, что при $\tau \leq 0,2-0,3$ по изотерме адсорбции практически невозможно отличить локализованную адсорбцию от нелокализованной.

В работе [1] показано, что локализованная адсорбция на активных центрах, расстояние между которыми больше радиуса действия молекулярных сил, описывается изотермой Лэнгмюра. Предположим теперь, что активные центры расположены в узлах правильной решетки, расстояние между которыми меньше радиуса действия молекулярных сил. В этом случае изотерма адсорбции имеет вид *

$$a_0^{(c)} v = \tau \exp \left\{ - \sum_{m=1}^{\infty} \frac{\tau^m}{m!} B_{m+1} \right\}, \quad B_{m+1} = K_{m+1}(0, \dots, 0). \quad (1)$$

Задавая функции Майера в виде

$$f_{ij} = -\delta_{ij} + f_0(1 - \delta_{ij}) \quad (2)$$

($f_0 = \exp\{-\Phi^*/\Theta\} - 1$, Φ^* — энергия взаимодействия двух молекул, расположенных в соседних ячейках, $\delta_{ij} = \begin{cases} 0, & i \neq j \\ 1, & i = j \end{cases}$ — символ Кронекера)

и вычисляя несколько первых членов ряда, получим

$$a_0^{(c)} v = \tau \exp \{ [\tau + \frac{1}{2}\tau^2 + \dots] - c[f_0\tau + \frac{3}{2}f_0^2\tau^2 + \dots] \}, \quad (3)$$

где c — число ближайших соседей. Можно показать, что все B_{m+1} содержат f_0 в степени выше (или равной) m . Поэтому если f_0 достаточно мало, то членами с f_0 , возникающими от старших коэффициентов B_{m+1} , можно пренебречь, положив все $B_{m+1} = B_{m+1}^{(0)}$ ($B_{m+1}^{(0)} = 1/m$ — значения B_{m+1} при $f_0 = 0$ **). Суммируя B_{m+1} , получим изотерму Фрумкина — Фаулера — Гуттнгейма [4, 5]

$$a_0^{(c)} v = \frac{\tau}{1 - \tau} \exp \left\{ -c \left[f_0\tau + \frac{3}{2}f_0^2\tau^2 + \dots \right] \right\}. \quad (4)$$

* В данной работе приняты те же обозначения, что и в [1—3].

** Напомним, что в случае нелокализованной адсорбции все B_{m+1} содержали f_0 в первой степени [3]. Поэтому для нелокализованной адсорбции представление изотермы в виде, аналогичном (4), невозможно.

Необходимо подчеркнуть, что если (3) справедливо при любых значениях f_0 , но при малых τ , то (4), (5) можно пользоваться при любых τ , но лишь в случае $f_0 \leq 0,5$. Как известно, изотерма (4), (5) при $c = 4$ и $f_0 > 1$ дает петлю на кривой $\tau = \tau(a_0^{(e)} v)$, которая обычно трактуется как фазовый переход первого рода. Однако этот вывод основан на незаконной экстраполяции (4), (5) в область больших f_0 . Вопрос о фазовых переходах в плоской решетке не может быть решен на основе приближенных формул типа (4), (5) — он требует точного вычисления статсуммы. Заметим также, что если f_{ij} задано не в форме (2), а имеет более реалистичный вид $f_{ij} \simeq \simeq \Phi_{ij}^*/\Theta \sim r_{ij}^{-6}$, то при выводе изотермы уже нельзя ограничиться учетом только ближайших соседей. Так, для квадратной решетки полное суммирование всех взаимодействий дает $B_2 - B_2^{(0)} = 1,163f_0$, тогда как в результате суммирования лишь по ближайшим соседям получаем $B_2 - B_2^{(0)} = f_0$.

Нелокализованная адсорбция соответствует полной подвижности молекул адсорбата на поверхности адсорбента, локализованная — их полной неподвижности. Это означает, что в первом случае энергия взаимодействия адсорбент — адсорбат одинакова в любой точке плоскости адсорбции $z = 0$, а во втором — всякий переход молекул адсорбата из активного центра в соседнюю точку поверхности $z = 0$ сопряжен с преодолением бесконечного энергетического барьера. Однако на поверхности реального кристалла ни то, ни другое не имеет места, ибо на самом деле энергия адсорбции меняется приблизительно по закону [6]

$$\Phi(\rho) = -\Phi_0 + M_1 \cos \omega_1 x + M_2 \cos \omega_2 y + M_3 \cos \omega_1 x \cos \omega_2 y. \quad (5)$$

Здесь периоды решетки $d_i = 2\pi / \omega_i$ при $i = 1, 2$. Будем для определенности считать, что $M_1 \geq M_2 \geq M_3$. Тогда

$$\gamma_0(\rho) = \exp \{-\Phi(\rho)/\Theta\} = \gamma_0^{(0)} \exp [-V\varphi(\rho)], \quad \gamma_0^{(0)} = e^{V_0*}, \quad (6)$$

где

$$V_0 = \Phi_0 / \Theta, \quad V = M_1 / \Theta, \quad \varphi(\rho) = p_1 \cos \omega_1 x + p_2 \cos \omega_2 y + p_3 \cos \omega_1 x \cos \omega_2 y \quad (7)$$

и $p_1 = 1$, $p_i = M_i / M_1$, $i = 2, 3$. Если ограничиться малыми степенями заполнения τ , то в «двумерном» уравнении Аринштейна ([2], уравнение (10)) можно оставить лишь один член ряда, что дает

$$\ln g(\rho_1) = v h_z \int_A f(\rho_{12}) \gamma_0(\rho_2) g(\rho_2) d\rho_2. \quad (8)$$

При помощи уравнения (8) можно проследить постепенный переход от полностью нелокализованной адсорбции, соответствующей $V = 0$, к полностью локализованной при $V = \infty$.

Положим

$$\eta(\rho) = \ln g(\rho) - V\varphi(\rho) = \eta_0 + V\eta_1(\rho) + V^2\eta_2(\rho) + \dots \quad (9)$$

Подставляя это выражение в (8) и разлагая $\exp(\eta(\rho))$ в ряд, получим после приравнивая членов при одинаковых степенях V систему уравнений

$$\eta_0 = \frac{a_0^{(0)} e^{\eta_0} v}{A_0} \int_A f(\rho_{12}) d\rho_2, \quad (10)$$

$$\eta_1(\rho_1) + \varphi(\rho_1) = \frac{a_0^{(0)} e^{\eta_0} v}{A_0} \int_A f(\rho_{12}) \eta_1(\rho_2) d\rho_2, \quad (11)$$

$$\eta_2(\rho_1) = \frac{a_0^{(0)} e^{\eta_0} v}{A_0} \int_A f(\rho_{12}) \left[\eta_2(\rho_2) + \frac{1}{2} \eta_1^2(\rho_2) \right] d\rho_2 \quad (12)$$

* Здесь и в дальнейшем верхний индекс нуль указывает на то, что данная величина соответствует $V = 0$.

и т. д., где $a_0^{(0)} = v_0 \gamma_0^{(0)}$, $v_0 = h_z A_0$, $A_0 = \pi r_0^2 / 4$ [2]. Соответственно для степени заполнения τ имеем (см. [1], уравнение (8))

$$\begin{aligned} \tau &= \frac{v_0 v}{A} \int_{(A)} \gamma(\rho) g(\rho) d\rho = \frac{a_0^{(0)} v}{A} \int_{(A)} e^{\eta_1(\rho)} d\rho = \frac{a_0^{(0)} e^{\eta_0 v}}{A} \int_{(A)} \left\{ 1 + V \eta_1(\rho) + \right. \\ &\quad \left. + V^2 \left[\eta_2(\rho) + \frac{1}{2} \eta_1^2(\rho) \right] + \dots \right\} d\rho = \\ &= a_0^{(0)} e^{\eta_0 v} \left\{ 1 + \frac{V^2}{d_1 d_2} \int_{(a_1 d_2)} \left[\eta_2(\rho) + \frac{1}{2} \eta_1^2(\rho) \right] d\rho + \dots \right\}. \end{aligned} \quad (13)$$

Здесь учтено, что $A = N d_1 d_2$, где $d_1 d_2$ — площадь ячейки, и что, согласно (11), $\int_{d_1 d_2} \eta_1(\rho) d\rho = 0$.

Так как $B_2^{(0)} = -\frac{1}{A_0} \int f(\rho_{12}) d\rho_2$ — второй вироальный коэффициент, то из (10) следует

$$a_0^{(0)} v = \tau^{(0)} \exp\{B_2^{(0)} \tau^{(0)}\}. \quad (14)$$

Решение уравнения (11) легче всего получить при помощи двумерного интегрального преобразования Фурье. Учитывая, что $f(\rho_{12}) = f(|\rho_1 - \rho_2|)$, и используя теорему свертки, преобразуем (11) к виду

$$\eta_1(k) + \varphi(k) = 2\pi \frac{\tau^{(0)}}{A_0} f(k) \eta_1(k), \quad (15)$$

где

$$\begin{aligned} \varphi(k) &= \frac{1}{2\pi} \int_{-\infty}^{+\infty} \varphi(\rho) \exp(ik\rho) d\rho = 2\pi \left\{ p_1 \frac{\delta(k_1 - \omega_1) + \delta(k_1 + \omega_1)}{2} \times \right. \\ &\quad \times \delta(k_2 - \omega_2) + p_2 \delta(k_1 - \omega_1) \frac{\delta(k_2 - \omega_2) + \delta(k_2 + \omega_2)}{2} + \\ &\quad \left. + p_3 \frac{\delta(k_1 - \omega_1) + \delta(k_1 + \omega_1)}{2} \cdot \frac{\delta(k_2 - \omega_2) + \delta(k_2 + \omega_2)}{2} \right\}, \end{aligned} \quad (16)$$

$$\begin{aligned} f(k) &= \frac{1}{2\pi} \int_0^\infty \rho d\rho \int_0^{2\pi} d\psi f(\rho) \exp[i(k_1 \rho \cos \psi + k_2 \rho \sin \psi)] = \\ &= \int_0^\infty f(\rho) \mathcal{J}_0[\rho (k_1^2 + k_2^2)^{1/2}] \rho d\rho. \end{aligned} \quad (17)$$

Отсюда сразу получаем

$$\eta_1(\rho) = - \frac{\int_{-\infty}^{\infty} \varphi(k) \exp(-ik\rho) dk}{1 - \frac{2\pi \tau^{(0)}}{A} f(k)} = a_1 \cos \omega_1 x + a_2 \cos \omega_2 y + a_3 \cos \omega_1 x \cos \omega_2 y, \quad (18)$$

где

$$a_i = \frac{-p_i}{1 - \frac{\tau^{(0)}}{A_0} \int_0^\infty f(\rho) \mathcal{J}_0(\omega_i \rho) \rho d\rho}; \quad i = 1, 2; \quad (19)$$

$$a_3 = \frac{-p_3}{1 - \frac{\tau^{(0)}}{A_0} \int_0^\infty f(\rho) \mathcal{J}_0[\rho (\omega_1^2 + \omega_2^2)^{1/2}] \rho d\rho}.$$

Очевидно,

$$\eta_1^2(\rho) = [1/2\alpha_1^2 + 1/2\alpha_2^2 + 1/4\alpha_3^2] + \alpha_1\alpha_3 \cos \omega_1 x + \alpha_2\alpha_3 \cos \omega_2 y + \dots$$

Так как при интегрировании по площади ячейки все члены, содержащие $\cos \omega_1 x$ и $\cos \omega_2 y$, обращаются в нуль, то вклад в τ дают только составляющие η_1^2 и η_2 , не зависящие от $\cos \omega_1 x$ и $\cos \omega_2 y$. Для них из (12) сразу получаем

$$\left[\eta_2(\rho) + \frac{1}{2} \eta_1^2(\rho) \right]^* = \frac{1/2 [\eta_1^2]^*}{1 + \tau^{(0)} B_2^{(0)}} = \frac{1}{4} \frac{\alpha_1^2 + \alpha_2^2 + 1/2 \alpha_3^2}{1 + \tau^{(0)} B_2^{(0)}}, \quad (21)$$

что дает для изотермы адсорбции параметрическое выражение

$$\tau = \tau^{(0)} \left\{ 1 + \frac{V^2}{4(1 + \tau^{(0)} B_2^{(0)})} \left[\alpha_1^2 + \alpha_2^2 + \frac{1}{2} \alpha_3^2 \right] + \dots \right\}, \quad (22)$$

$$a_0 v = \tau^{(0)} \exp \{B_2^{(0)} \tau^{(0)}\} \left[1 + \frac{V^2}{4} \left(p_1^2 + p_2^2 + \frac{1}{2} p_3^2 \right) + \dots \right],$$

где $\tau^{(0)}$ — параметр и $a_0 = a_0^{(0)} \int_{(d_1 d_2)} \exp(-V\varphi(\rho)) d\rho = a_0^{(0)} \left[1 + \frac{V^2}{4} \times \right. \\ \times \left. \left(p_1^2 + p_2^2 + \frac{1}{2} p_3^2 \right) + \dots \right]$ — константа Генри. Когда $\tau^{(0)} \rightarrow 0$, то (22) сводится к изотерме Генри

$$\begin{aligned} \tau &= a_0^{(0)} \left[1 + \frac{V^2}{4} \left(p_1^2 + p_2^2 + \frac{1}{2} p_3^2 \right) + \dots \right] v = \\ &= a_0^{(0)} \int_{(d_1 d_2)} \exp(-V\varphi(\rho)) d\rho v = a_0 v. \end{aligned} \quad (23)$$

Полученная изотерма решает поставленную задачу для случая $\tau \leq 0,2-0,3$ и $V \leq 1$.

Исследуем теперь зависимость $\tau = \tau(a_0 v)$ от различных параметров для простейшего потенциала

$$f(\rho) = \begin{cases} -1, & 0 \leq \rho < r_0 \\ f_0, & r_0 \leq \rho < R_0 \\ 0, & R_0 \leq \rho \leq \infty \end{cases} \quad (24)$$

и квадратной решетки, для которой $d_1 = d_2 = d$ и $p_1 = p_2 = 1$, $p_3 = 0,2$ [6]. В этом случае (22) принимает вид

$$\tau = \tau^{(0)} \left\{ 1 + \frac{V^2}{4(1 + B_2^{(0)} \tau^{(0)})} \left[\frac{2}{(1 + \tau^{(0)} \psi(\varepsilon))^2} + \frac{0,02}{(1 + \tau^{(0)} \psi(V \bar{\varepsilon}))^2} \right] + \dots \right\}. \quad (25)$$

где $a_0 v = \tau^{(0)} \exp \{B_2^{(0)} \tau^{(0)}\} [1 + 0,505 V^2 + \dots]$,

$$B_2^{(0)} = 4[1 - f_0(b^2 - 1)], \quad \psi = \frac{8}{\pi \varepsilon} [\mathcal{I}_1(\varepsilon) - f_0(b \mathcal{I}_2(b \varepsilon) - \mathcal{I}_1(\varepsilon))], \quad (26)$$

$$\varepsilon = 2\pi r_0 / d, \quad b = R_0 / r_0.$$

В пределе $\varepsilon \rightarrow 0$ из (25) следует

$$\tau = \tau^{(0)} \left\{ 1 + \frac{0,505 V^2}{(1 + \tau^{(0)} B_2^{(0)})^3} + \dots \right\}. \quad (27)$$

На рис. 1 приведены кривые зависимости $\tau / \tau^{(s)}$ от $a_0 v$, где τ рассчитано по формулам (25)–(27) при $V = 1$, а $\tau^{(s)}$ — по изотерме нелокализованной адсорбции $a_0^{(s)} v = \tau^{(s)} \exp \{B_2^{(s)} \tau^{(s)}\}$, в которой принималось $a_0^{(s)} = a_0 = a_0^{(0)} \int_{(d_1 d_2)} \exp[-V\varphi(\rho)] d\rho$ и $B_2^{(s)} = B_2^{(0)}$. Из этих данных видно,

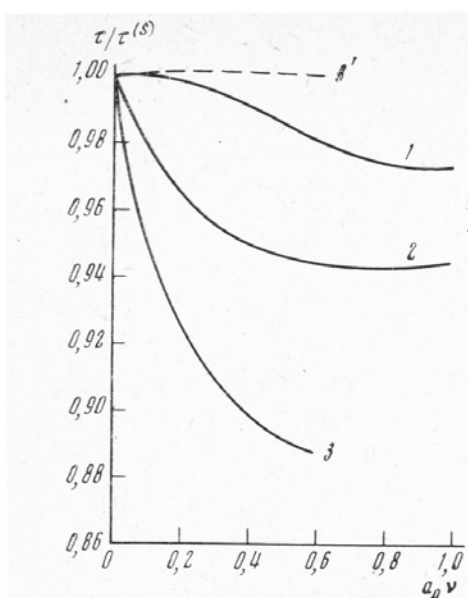


Рис. 1

Рис. 1. Зависимость $\tau / \tau^{(s)}$ от a_0v при $V = 1$, $r_0 / d = 0,5$, $b = R_0 / r_0 = 1,2$ и $1 - f_0 = 0$, $2 - f_0 = 0,75$ и $3 - f_0 = 1,5$; $3'$ соответствует изотерме $a_0v = \tau^{(s)} \exp\{1,385\tau^{(s)}\}$

Рис. 2. Зависимость $\tau / \tau^{(s)}$ от r_0 / d при $V = 1$, $a_0v = 0,5$, $b = R_0 / r_0 = 1,2$ и $1 - f_0 = 0$, $2 - f_0 = 0,75$ $3 - f_0 = 1,5$

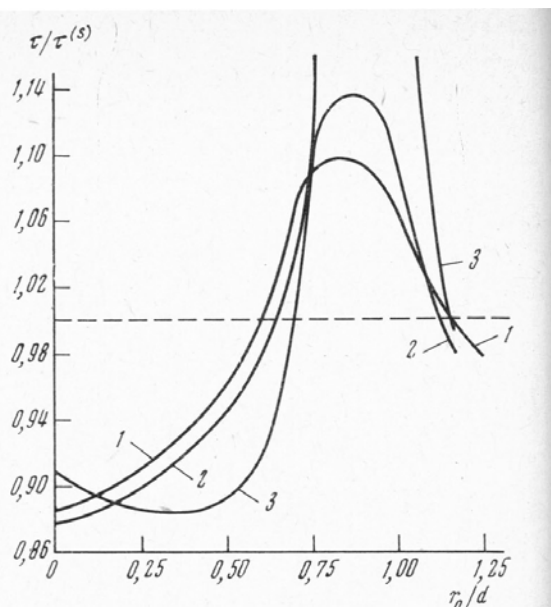


Рис. 2

что с ростом f_0 отношение $\tau / \tau^{(s)}$ довольно быстро падает. Однако даже при $f_0 = -1,5$ эффект не превышает 10–15 %. Это означает, что по абсолютной величине различие τ и $\tau^{(s)}$ не превышает 0,01–0,02, т. е. очень мало.

На рис. 2 приведена кривая зависимости $\tau / \tau^{(s)}$ от величины r_0 / d . Максимальный эффект возникает в том случае, когда диаметр молекулы адсорбата приблизительно равен периоду решетки адсорбента и когда притяжение между молекулами адсорбата достаточно велико.

Кривые 1–3 на рис. 1 и 2 построены в предположении, что величина f_0 одинакова как для τ , так и для $\tau^{(s)}$ (т. е. $B_2^{(0)} = B_2^{(s)}$). Обычно же экспериментатор решает обратную задачу, стараясь определить B_2 путем подгонки теоретической кривой к опытной. При этом ему в ргі неизвестно, нужно ли пользоваться формулами (25)–(27) или формулой для нелокализованной адсорбции $a_0^{(s)}v = \tau^{(s)} \exp\{B_2^{(s)}\tau^{(s)}\}$, в которой $B_2^{(s)}$ является подгоночным параметром. В такой ситуации невозможно установить, что же на самом деле имеет место, так как ничтожное изменение $B_2^{(s)}$ приводит к тому, что величина $\tau / \tau^{(s)}$ практически всюду остается равной единице. Так, даже при $f_0 = -1,5$ изменение $B_2^{(s)}$ до 1,385 вместо $B_2^{(0)} = 1,360$ приводит к тому, что максимум величины $(\tau - \tau^{(s)}) / \tau^{(s)}$ падает с 11 % при $a_0v = 0,6$ (кривая 3, рис. 1) до 0,2 % (кривая 3' рис. 1), т. е. почти в 100 раз. Таким образом, по изотермам адсорбции при $\tau \leq 0,2$ – $0,3$ и $V \leq 1$ определить характер локализации молекул адсорбата на поверхности адсорбента невозможно.

Поступила
7.VII.1971

ЛИТЕРАТУРА

- И. Б. Иванов, Г. А. Мартынов, Ж. физ. химии, **46**, 2624, 1972.
- И. Б. Иванов, Г. А. Мартынов, Ж. физ. химии, **46**, 2620, 1972.
- Г. А. Мартынов, И. Б. Иванов, Ж. физ. химии, **47**, 135, 1973.
- А. П. Фрумкин, J. Phys., **35**, 792, 1926.
- Р. Фаулер, Э. Гуггенгейм, Статистическая термодинамика, Изд-во иностр. лит., М., 1949.
- Г. Ф. Степанец, А. А. Лопаткин, Ж. физ. химии, **41**, 2746, 1967.

